

УДК 621.865.8

ОПРЕДЕЛЕНИЕ ЗОНЫ ОБСЛУЖИВАНИЯ МОБИЛЬНОГО МАНИПУЛЯТОРА-ТРИПОДА*

В.М. Герасун, В.В. Жога, И.А. Несмиянов, Н.С. Воробьёва, В.В. Дяшкин-Титов

Получены кинематические зависимости, позволяющие находить положения центра масс схвата мобильного манипулятора-трипода в пределах зоны обслуживания. Определены геометрические характеристики рабочей зоны манипулятора-трипода. Разработан алгоритм перемещения схвата и построена рабочая зона его перемещения. Предложены теоретические зависимости для определения зоны обслуживания при условии исключения попадания механизма в мертвое положение.

Ключевые слова: манипулятор параллельной структуры, кинематический анализ, зона обслуживания.

Введение

Современное сельскохозяйственное производство характеризуется большим разнообразием технологических операций, что обуславливает разработку и создание широкой номенклатуры средств механизации.

Наращивание энергетических мощностей и развитие сельскохозяйственных машин позволяет механизировать основные процессы в растениеводстве, но оставляет ручной труд при выполнении погрузочно-разгрузочных операций. Следует также учитывать сезонность проведения работ, в результате чего существенная доля мобильных агрегатов длительное время не используется, снижая экономические показатели предприятия.

Зарубежный опыт развития сельского хозяйства показывает принципиальную возможность роботизации целого ряда технологических процессов в сельском хозяйстве, где присутствует большая доля монотонного ручного труда. В промышленно развитых странах ведутся интенсивные работы по созданию различных робототехнических систем для механизации трудоемких операций.

Поэтому проведение теоретических исследований и опытно-конструкторских работ, позволяющих создавать машины, повышающие производительность труда, является актуальной задачей.

Целью данной работы явилось определение траекторий перемещения рабочего устройства, образующих зону обслуживания манипулятора-трипода, с учетом поворота опорного основания. Кроме того, для сравнения кинематических характеристик стрелового манипулятора и манипулятора-трипода предложены зависимости, определяющие углы поворотов в пространстве характерного звена переменной длины пространственного механизма.

Кинематика манипулятора-трипода

Основным исполнительным устройством робота или иного технического средства, выполняющего погрузочно-разгрузочные и другие технологические операции, является манипулятор. Одна из его главных характеристик, обеспечивающих экономическую эффективность, – это отношение массы груза к собственной

* Исследование выполнено при финансовой поддержке Российского фонда фундаментальных исследований в рамках научных проектов № 13-08-00387 и № 12-08-00301-а.

массе конструкции. Традиционные стреловые манипуляторы имеют разомкнутую кинематическую цепь, включающую в себя механизмы поворота и изменения вылета стрелы, которые обладают существенной металлоемкостью. Снижения собственной массы манипулятора без ухудшения прочностных характеристик можно достичь, используя пространственные структуры, в частности l -координатные механизмы, получившие в настоящее время достаточно широкое распространение [1–5].

На рисунке 1 представлен l -координатный манипулятор, образованный тремя стержнями в виде силовых гидроцилиндров, концы которых с одной стороны соединены специальным сферическим шарниром, а с другой – располагаются на опорном основании. На сферическом шарнире может устанавливаться пассивное или активное грузозахватное устройство либо иной рабочий орган для выполнения технологических операций. Такое расположение гидроцилиндров с соединяющим их сферическим шарниром представляет собой пространственную структуру в виде треугольной пирамиды, не имеющей избыточных связей. Для этого механизма соблюдается условие статической определимости, состоящее в том, что в одной точке могут пересекаться не более трех стержней [6]. Кроме того, для данной схемы характеристики высокая степень унификации и возможность агрегатно-модульного построения.

Опорное основание способно поворачиваться с помощью гидроцилиндра, что расширяет эксплуатационные показатели манипулятора. Конструкция манипулятора обеспечивает четыре степени подвижности рабочего устройства, что позволяет выполнять максимальное количество технологических операций [7]. Манипулятор может устанавливаться на любом



Рис. 1. Манипулятор-трипод на самоходном шасси Т-16М

транспортном средстве, например на колесном самоходном шасси (см. рис. 1).

Одним из основных технических показателей погружного манипулятора является рабочее пространство, охватывающее возможные траектории перемещения сферического шарнира с грузозахватным устройством.

Решение прямой задачи кинематики о положениях манипулятора позволяет найти геометрические характеристики рабочего пространства при конструктивных ограничениях на обобщенные координаты [8]:

$$L_{i \min} < L_i < L_{i \max}, \quad i = 1, 2, 3, 4,$$

где L – длина гидроцилиндра; i – его порядковый номер.

Для определения траектории перемещения центра масс сферического шарнира с грузозахватным устройством (точка M , рис. 2) выбраны две системы координат: неподвижная $OXYZ$, связанная с транспортным средством, на котором расположен манипулятор, и подвижная $O_1X_1Y_1Z_1$, связанная с поворотным опорным основанием манипулятора.

Уравнения связи между координатами точки M , длинами цилиндров и координатами точек их крепления в подвижной системе координат имеют вид [9]

$$\begin{cases} X_{1M}^2 + Y_{1M}^2 + (Z_{1M} - Z_{1A})^2 = L_1^2; \\ (X_{1M} - X_B)^2 + Y_{1M}^2 + Z_{1M}^2 = L_2^2; \\ (X_{1M} - X_C)^2 + Y_{1M}^2 + Z_{1M}^2 = L_3^2, \end{cases} \quad (1)$$

где X_{1M} , Y_{1M} , Z_{1M} – координаты точки M в подвижной системе координат; L_1 , L_2 , L_3 – текущие значения длин звеньев манипулятора; $X_B = -X_C$; Z_{1A} – постоянные координаты точек крепления звеньев манипулятора.

Решая систему (1), получим зависимости координат точки $M(X_{1M}, Y_{1M}, Z_{1M})$ от длин



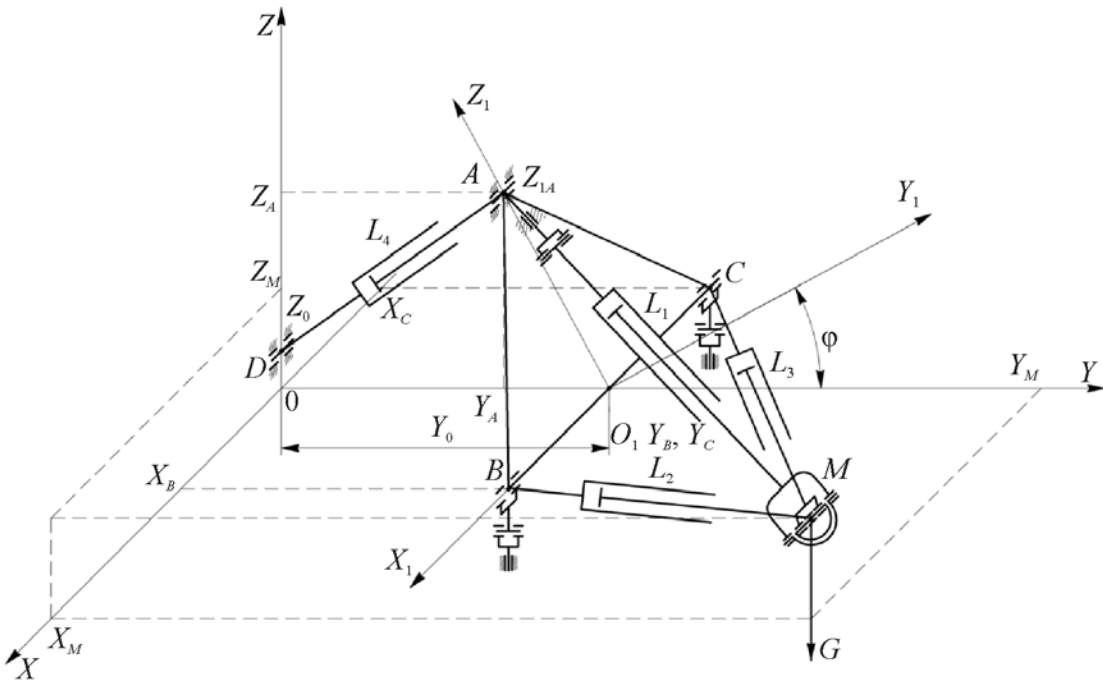


Рис. 2. Расчетная схема манипулятора-трипода:

A, B, C, D – шарнирные опоры гидроцилиндров; L₁, L₂, L₃ – длины гидроцилиндров, образующих пространственный механизм; L₄ – длина гидроцилиндра поворота опорного основания;

G – сила тяжести перемещаемого груза; φ – угол поворота опорного основания; X_M, Y_M, Z_M – проекции сферического шарнира M на неподвижные оси координат; Y_A, Z_A, X_B, Y_B, X_C, Y_C – проекции шарнирных опор гидроцилиндров на неподвижные оси координат; Y₀ – координата, определяющая центр подвижной системы координат O₁X₁Y₁Z₁ относительно неподвижной OXYZ

звеньев L₁, L₂, L₃ и координат точек крепления основания манипулятора:

$$\left\{ \begin{array}{l} X_{1M} = \frac{L_3^2 - L_2^2}{4X_B}; \\ Y_{1M} = \left(\frac{L_1^2 - (L_3^2 - L_2^2)^2}{16X_B^2} - \frac{(-L_1^2 + 0,5L_2^2 + 0,5L_3^2 - X_B^2 - Z_{1A}^2)^2}{4Z_{1A}^2} \right)^{\frac{1}{2}}; \\ Z_{1M} = \frac{-L_1^2 + 0,5L_2^2 + 0,5L_3^2 - X_B^2 + Z_{1A}^2}{2Z_{1A}}. \end{array} \right. \quad (2)$$

Переход от подвижной системы координат O₁X₁Y₁Z₁ к неподвижной OXYZ определяется зависимостями [10]

$$\begin{cases} X_M = X_0 + \alpha_{11}X_{1M} + \alpha_{21}Y_{1M} + \alpha_{31}Z_{1M}; \\ Y_M = Y_0 + \alpha_{12}X_{1M} + \alpha_{22}Y_{1M} + \alpha_{32}Z_{1M}; \\ Z_M = Z_0 + \alpha_{13}X_{1M} + \alpha_{23}Y_{1M} + \alpha_{33}Z_{1M}, \end{cases} \quad (3)$$

где X_M, Y_M, Z_M – координаты точки M в неподвижной системе координат; X₀, Y₀, Z₀ – проекции вектора, определяющего положение начала подвижной системы координат в неподвижной системе координат; α_{sk} – проекция единичного вектора \vec{i}_{ls} подвижной системы координат на направление единичного вектора \vec{i}_k неподвижной системы координат, которая определяется скалярным произведением

$$\alpha_{sk} = \vec{i}_{ls} \cdot \vec{i}_k, \quad s, k = 1, 2, 3. \quad (4)$$

Для расчетной схемы (см. рис. 2)

$$X_0 = 0; Y_0 = Y_0; Z_0 = 0;$$

$$\begin{vmatrix} 1 & 0 & 0 \\ 0 & \cos\varphi & \sin\varphi \\ 0 & -\sin\varphi & \cos\varphi \end{vmatrix} \quad \text{– матрица направляющих косинусов.}$$